Пространственное распределение плотности грозовых разрядов на Востоке России по данным дистанционных наблюдений

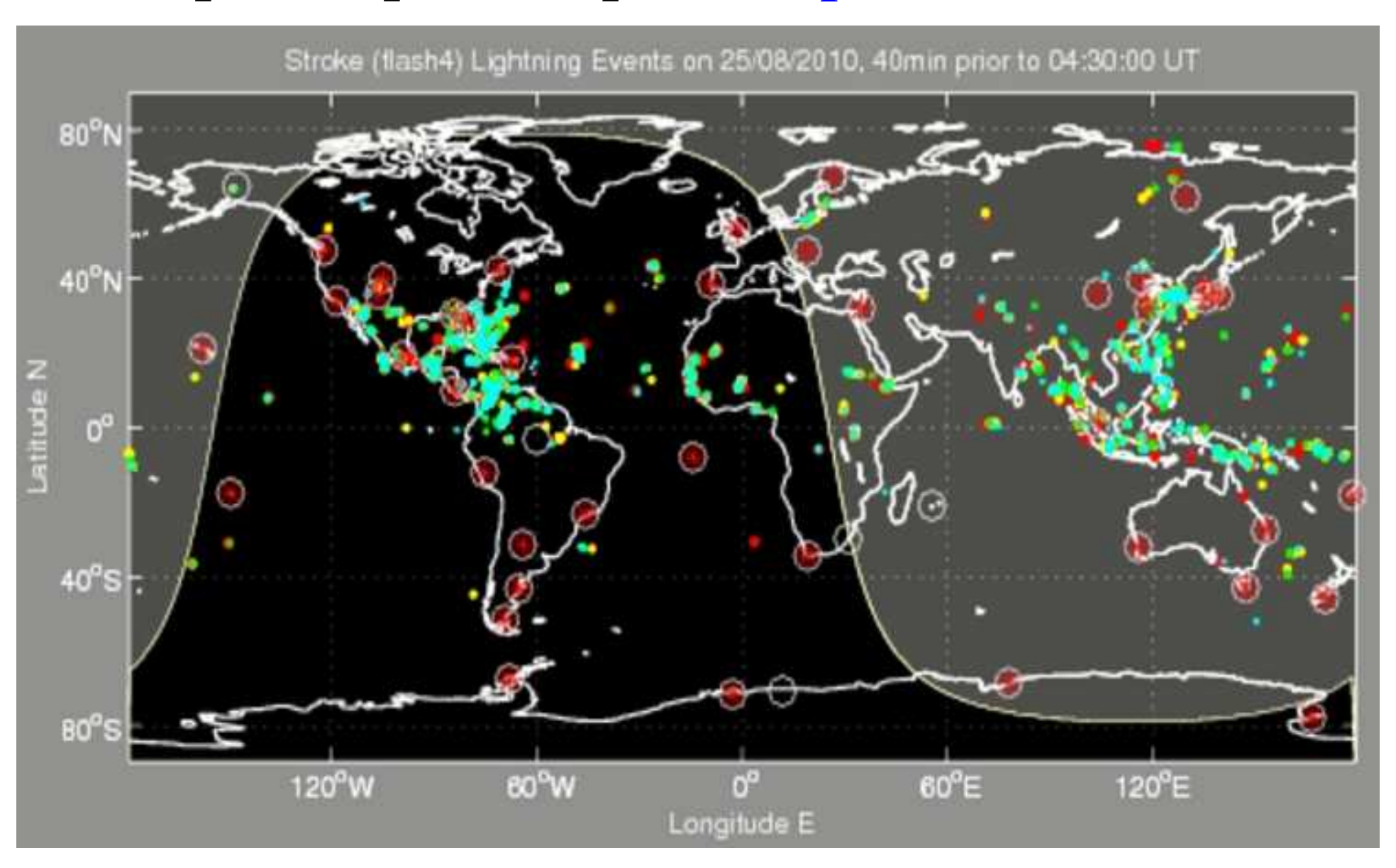
Козлов В.И., Муллаяров В.А., Каримов Р.Р. Институт космофизических исследований и аэрономии им. Ю.Г. Шафера СО РАН

v.kozlov@ikfia.ysn.ru

Представлены данные по регистрации инструментальным методом плотности грозовых разрядов и динамике гроз на территории Северной Азии (60°- 170° в.д. и 40°- 80° с.ш.). Приведены карты плотности грозовых разрядов, широтные и долготные вариации этой плотности и зависимость плотности от высоты рельефа. Также приведено соотношение между количеством грозовых разрядов различного

- В последнее время появилось и бурно развивается методика зондирования гроз с помощью пассивных радаров
- [Dowden R.L., Brundell J.B. Rogder C.J. VLF lighting location by time of group arrival (TOGA) at multiple sites // J. Atmos. Solar-Terr. Phys. 2002. V. 64, №7. P. 817-879.
- Casper, P.W., Bent, R.B., 1992. Results from the LPATS USA national lightning and tracking system for the 1991 lightning season. Proceedings of the 21st International Conference Lightning Protection, Berlin, Germany, September, pp. 339–342.].
- Кроме того имеются системы спутниковых наблюдений за распределением и активностью грозовых разрядов [Christian H.J., Blakeslee R.J., Bossippio D.J. et al. Global frequency and distribution of lightning as observed by the optical transient detector (OTD) // Proceedings of 11th International Conference on Atmospheric Electricity, USA, Alabama, 1999, 726-729.]. Однако нужно отметить, что над северной Азией спутниковые наблюдения велись

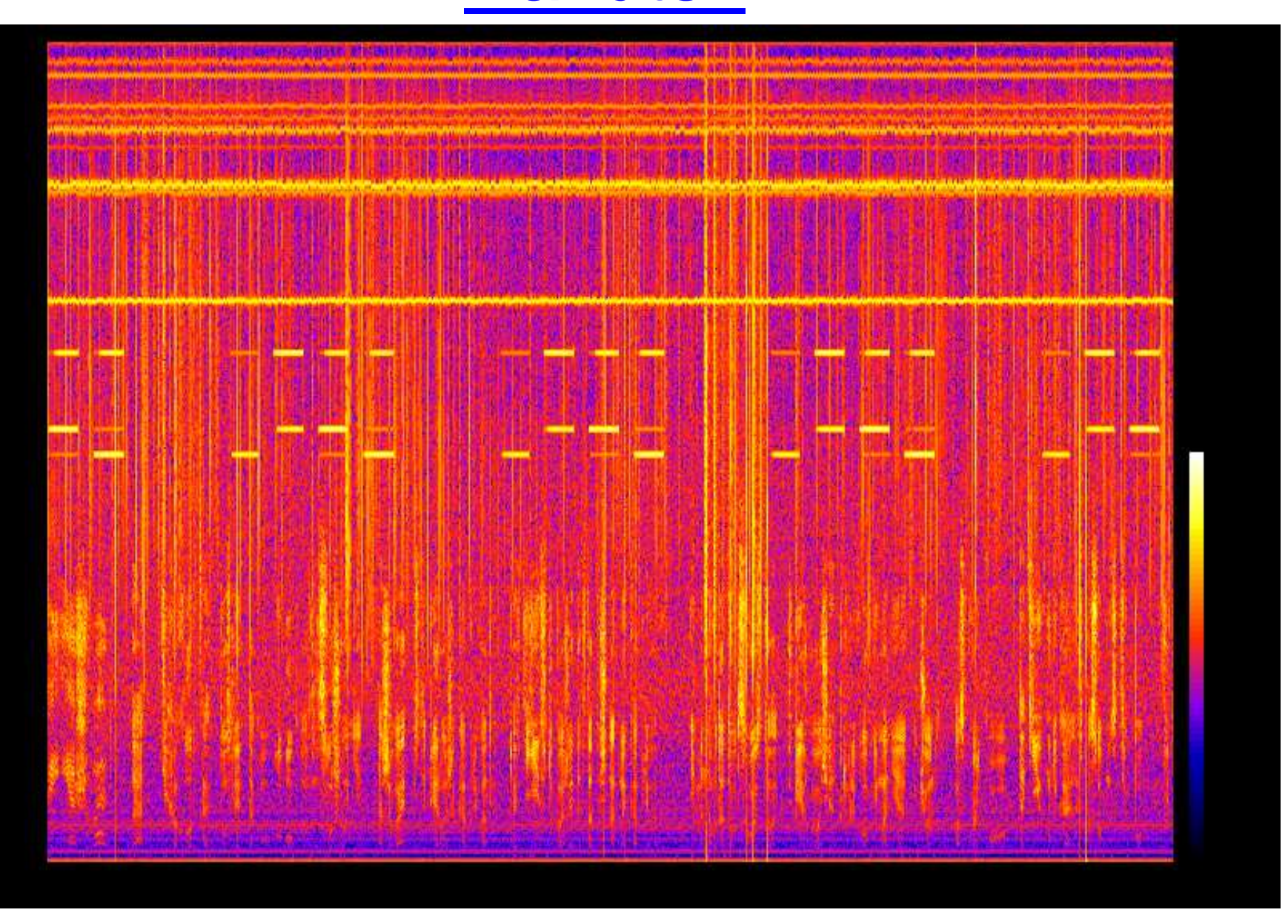
Мировая сеть (25 станций) и пример регистрации гроз http://wwwlln.net/

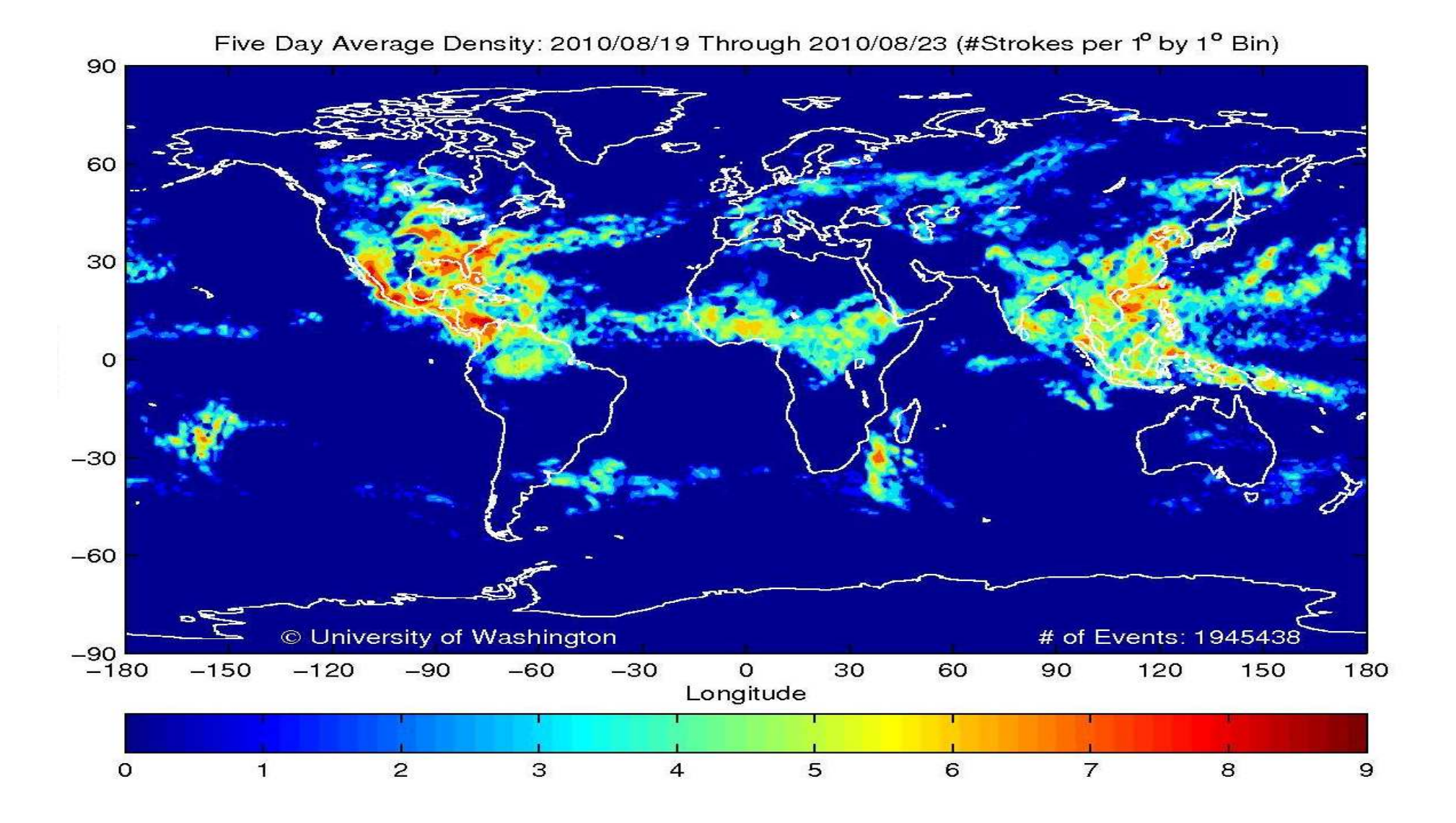


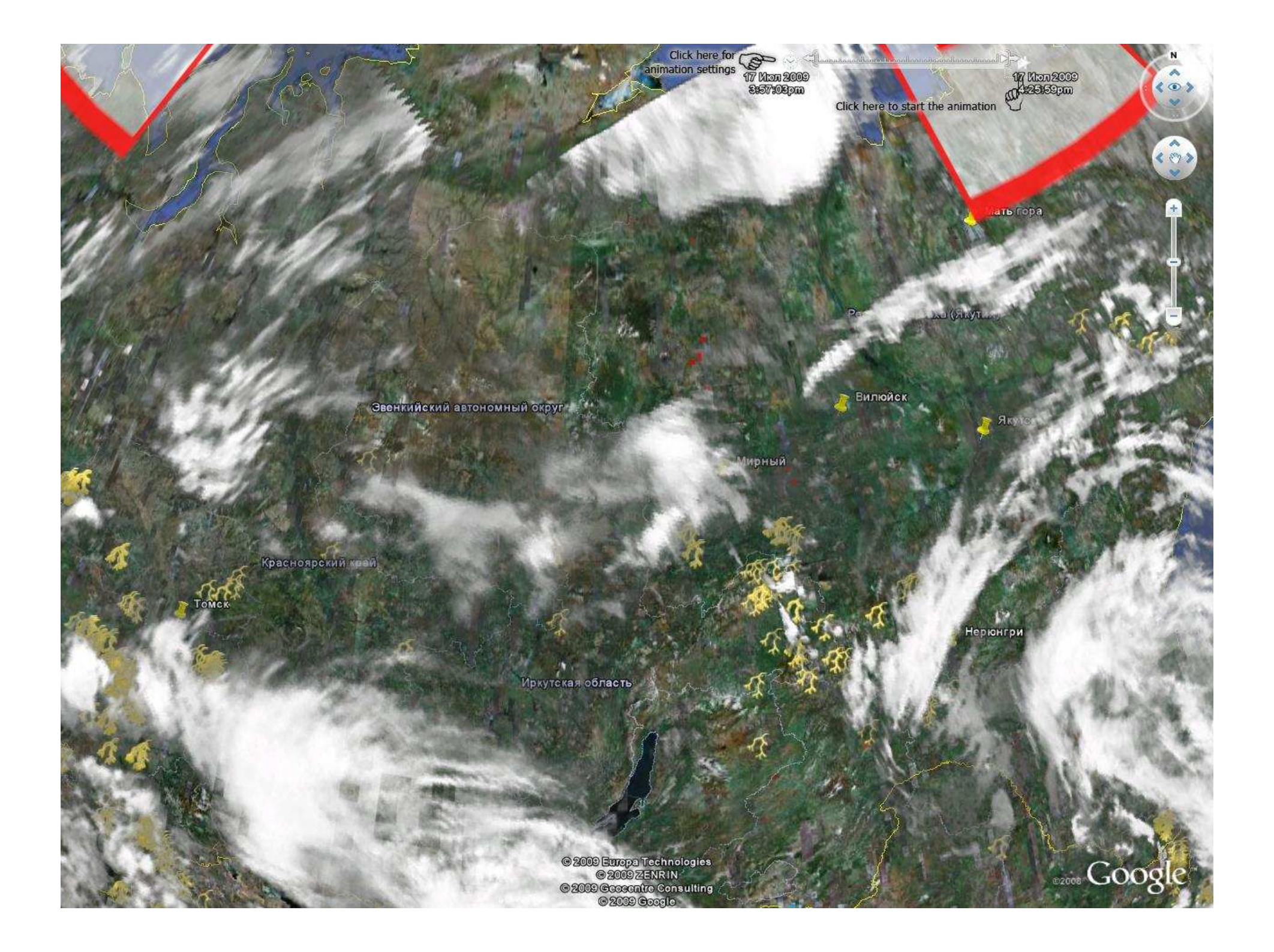
- Один из приемных пунктов этой сети расположен на станции Якутск. Этот пункт в настоящее время является единственным пунктом системы WWLLN в Североазиатском регионе на территории России. В ближайшее время вступит в строй станция на Камчатке. Каждая из этих станций посылает на центральный обрабатывающий компьютер, расположенный в Америке, точное время прибытия импульса грозового разряда атмосферика. С помощью этой информации со всех станций определяется за десять минут месторасположение и количество грозовых разрядов по всей Земле с точностью до нескольких километров.
- Метод основан на измерении группового времени прихода волновых пакетов в ОНЧ диапазоне частот: 3-30 кГц. В каждом приемном пункте, входящей в состав глобальной системы WWLLN, установлен в качестве приемной антенны вертикальный электрический «штырь». В Якутске высота штыревой антенны составляет 1,5 метра. Для усиления сигнала атмосферика используется ОНЧ широкополосный предварительный усилитель производства ИКФИА СО РАН.

- <u>Dunedin</u> and <u>ScottBase</u> University of Otago/Te Whare Wānanga o Otāgo (New Zealand)
- <u>Darwin</u> Charles Darwin University (Australia)
- Brisbane Griffith University, Brisbane
- Perth Murdoch University, Perth
- <u>Singapore</u> National University of Singapore
- Ōsaka Ōsaka University
- Moscow Institute of Terrestrial Magnetism, Ionosphere and Radiowave Propagation (ISMIRAN)
- Budapest Eotvos Lorand University
- Seattle University of Washington
- Boston Massachusetts Institute of Technology
- <u>Durban</u> and <u>Hermanus</u> and <u>SANAE Base</u> University of KwaZulu-Natal (South Africa)
- <u>Sao Paulo</u> INPE (Brazilian National Institute for Space Research)
- <u>Suva</u> University of the South Pacific (Fiji)
- Los Alamos Los Alamos National Laboratory
- Mexico Universidad Nacional Autonoma de Mexico
- <u>Tahiti</u> Universite de la Polynesie Française
- Tel Aviv Tel Aviv University
- Sheffield University of Sheffield
- <u>Lisbon</u> Portugal Meteorological Institute
- Huancayo Instituto Geofisico del Peru
- <u>Puerto Rico</u> University of Puerto Rico, Mayaguez
- <u>Cordoba</u> Universidad Nacional de Cordoba (Argentina)
- Finland SodankyaGeophysical Observatory, Sodankyla, Finland
- Honolulu University of Hawaii at Manoa
- Rothera British Antarctic Survey
- Lanzhou Cold and Arid Regions Environmental and Engineering Research Insitute, Chinese Academy of Sciences
- <u>Ascension Is.</u> British Geological Survey and BAS
- <u>Kingston</u> and <u>Davis</u> Australian Antarctic Division
- Hermanus Magnetic Observatory and University of KwaZulu-Natal (South Africa)
- <u>Boulder USGS/Magnetic Observatories (USA)</u>
- UCLA Dept. of Atmospheric and Oceanic Sciences (USA)
- Costa Rica Center for Geophysical Research (CIGEFI), University of Costa Rica (Costa Rica)
- Yakutsk Yu.G. Shafer Institute of Cosmophysical Research and Aeronomy
- <u>Beijing</u> and <u>Nanjing</u> Chinese Academy of Sciences
- Scott Base Antarctica New Zealand
- <u>Tallahassee</u> Florida State University, Department of Meteorology

Сонограмма Aug 25 05:00:00 2010 Yakutsk

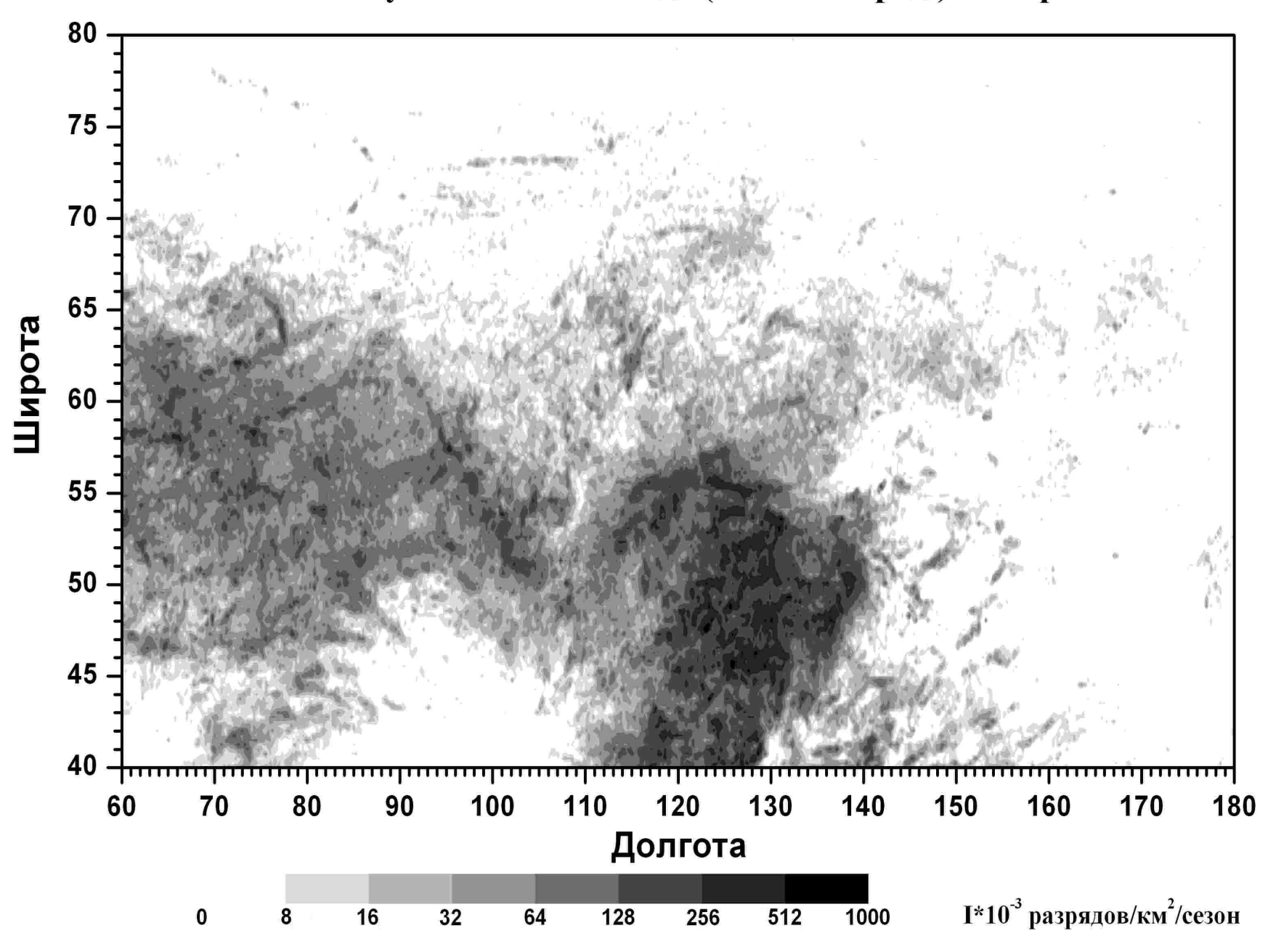




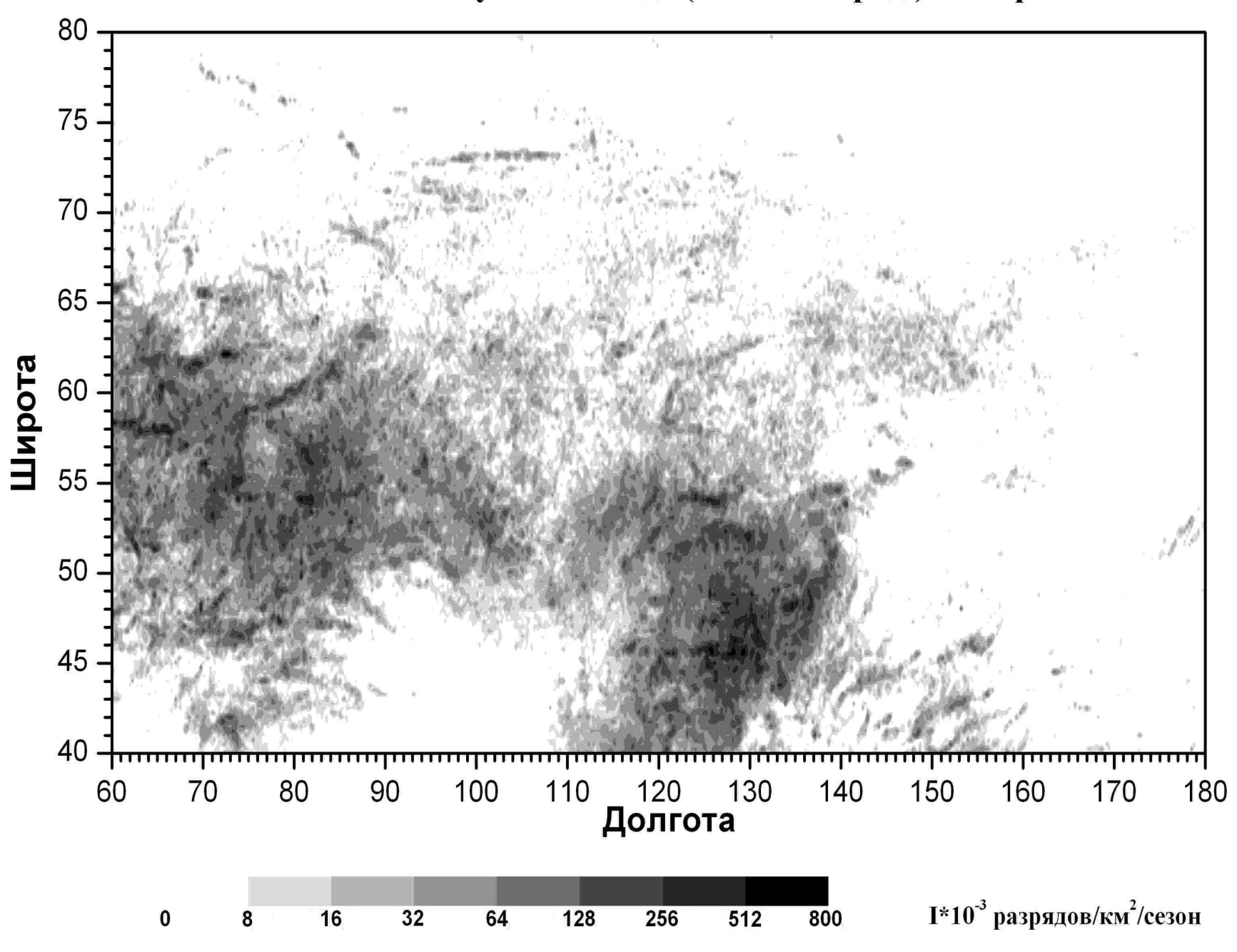


• Так как в системе WWLL локализация молний зависит от точности определения времени прихода атмосферика в приемный пункт и от точности местоположения самого приемного пункта, то для этих целей используются сигналы GPS. Один из них в коде NMEA передает в ПК в универсальное время с точностью до ближайшей секунды, а также год, месяц, день, час, минуту, секунду, географическую широту и долготу места. Другой сигнал – PPS – импульс длительностью 10 мкс с передним фронтом 1 мкс и с частотой следования 1 Гц поступает на второй стереоканал звуковой карты. Чтобы иметь эти два сигнала в ПК, используется GPS-антенна со специальным блоком, в котором имеется генератор, формирующий PSS-сигналы. В Якутске в используется GPS- часы — Thunderstorm фирмы Trimbl. В звуковой карте оба сигнала (и атмосферик, и PPSсигнал) оцифровываются с частотой 48 кГц, то есть с шагом по времени $\bar{2}\bar{0}$ мкс, и далее обрабатываются в ПК в каждом приемном пункте по одинаковым алгоритмам для определения группового времени прихода атмосферика относительно импульса PPS.

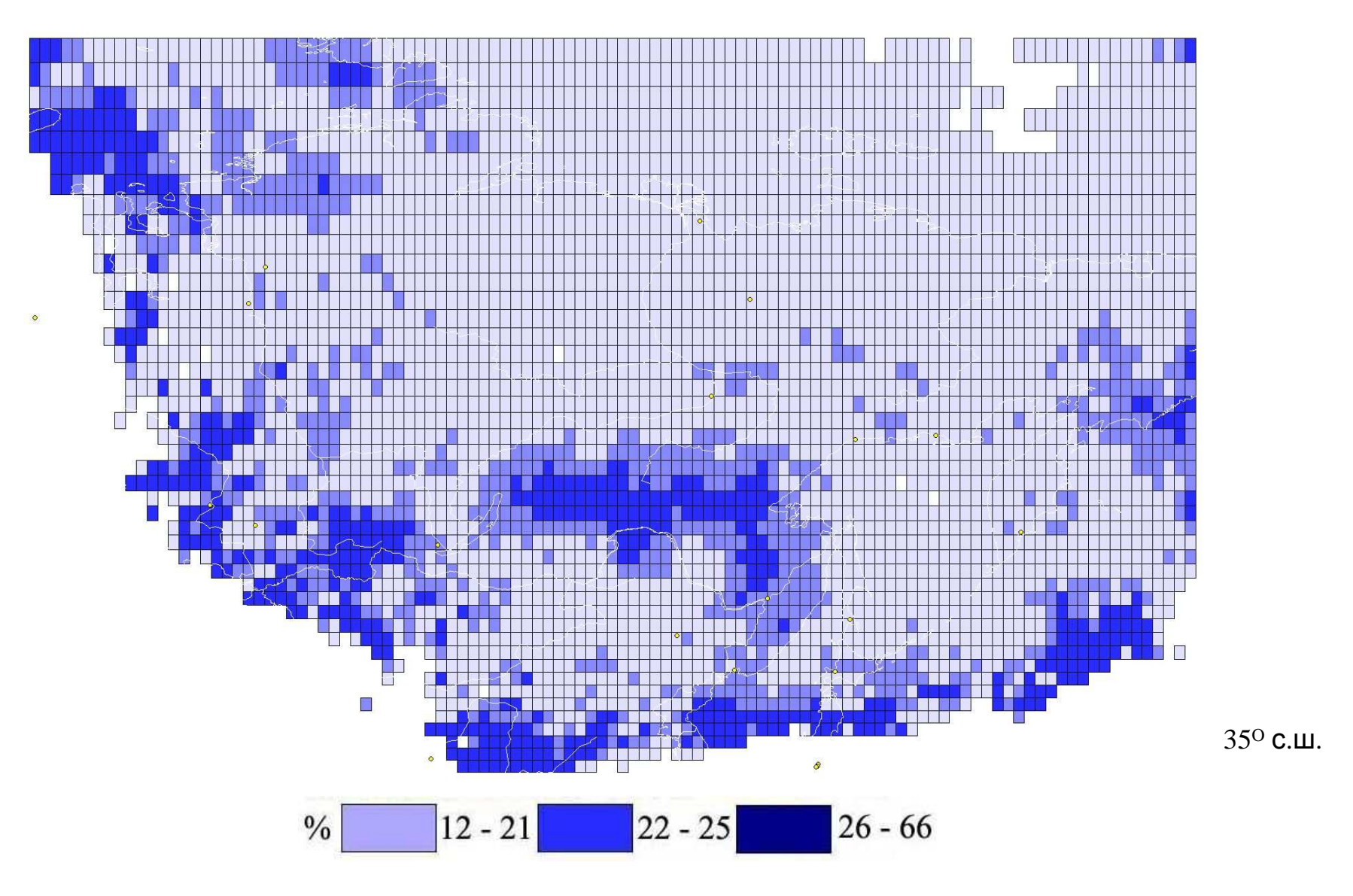
июнь-август 2009 и 2010 года (0.25*0.25 град²) Сибирь



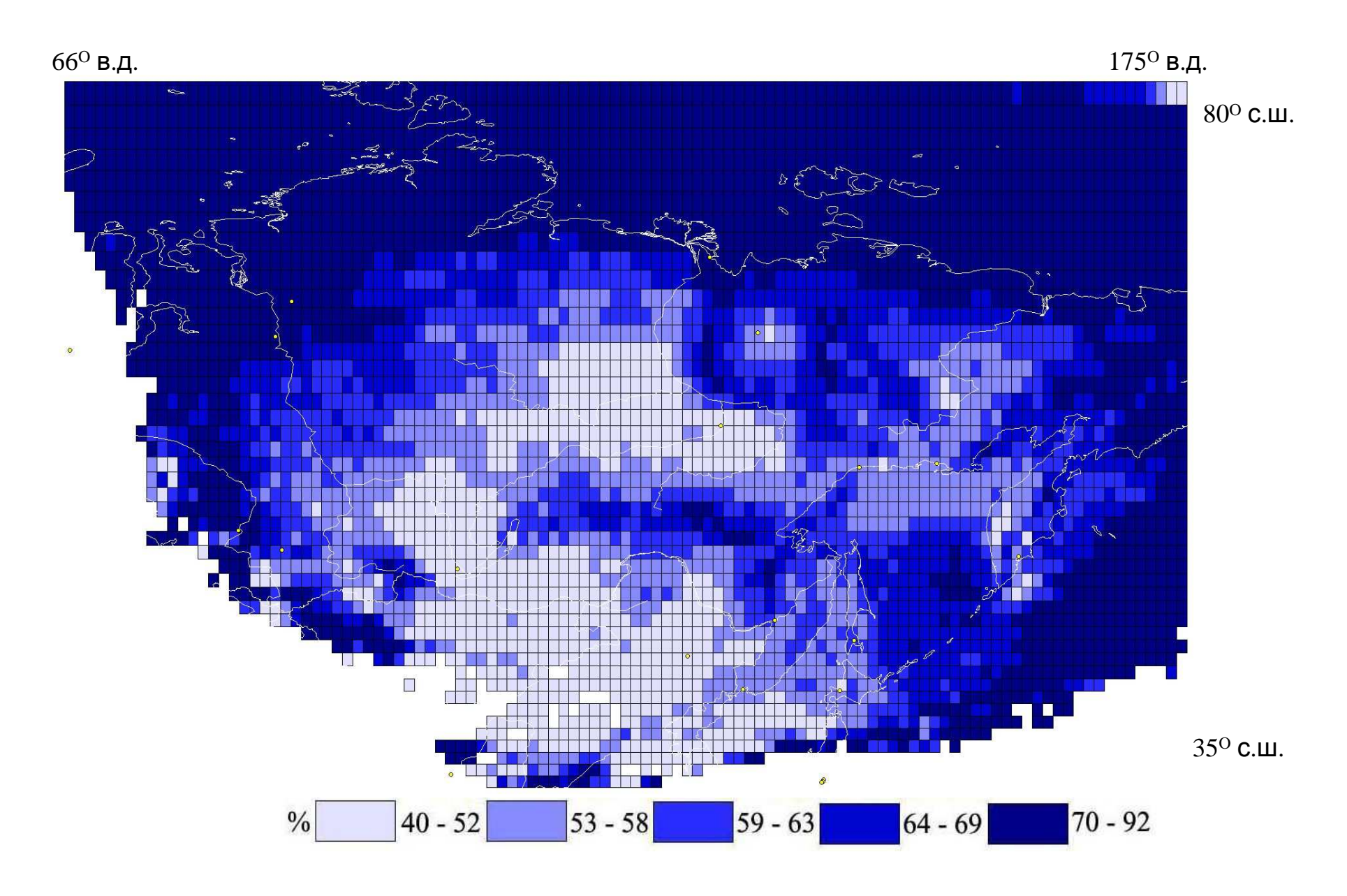
июнь-август 2009 года (0.25*0.25 град²) Сибирь



800 с.ш.

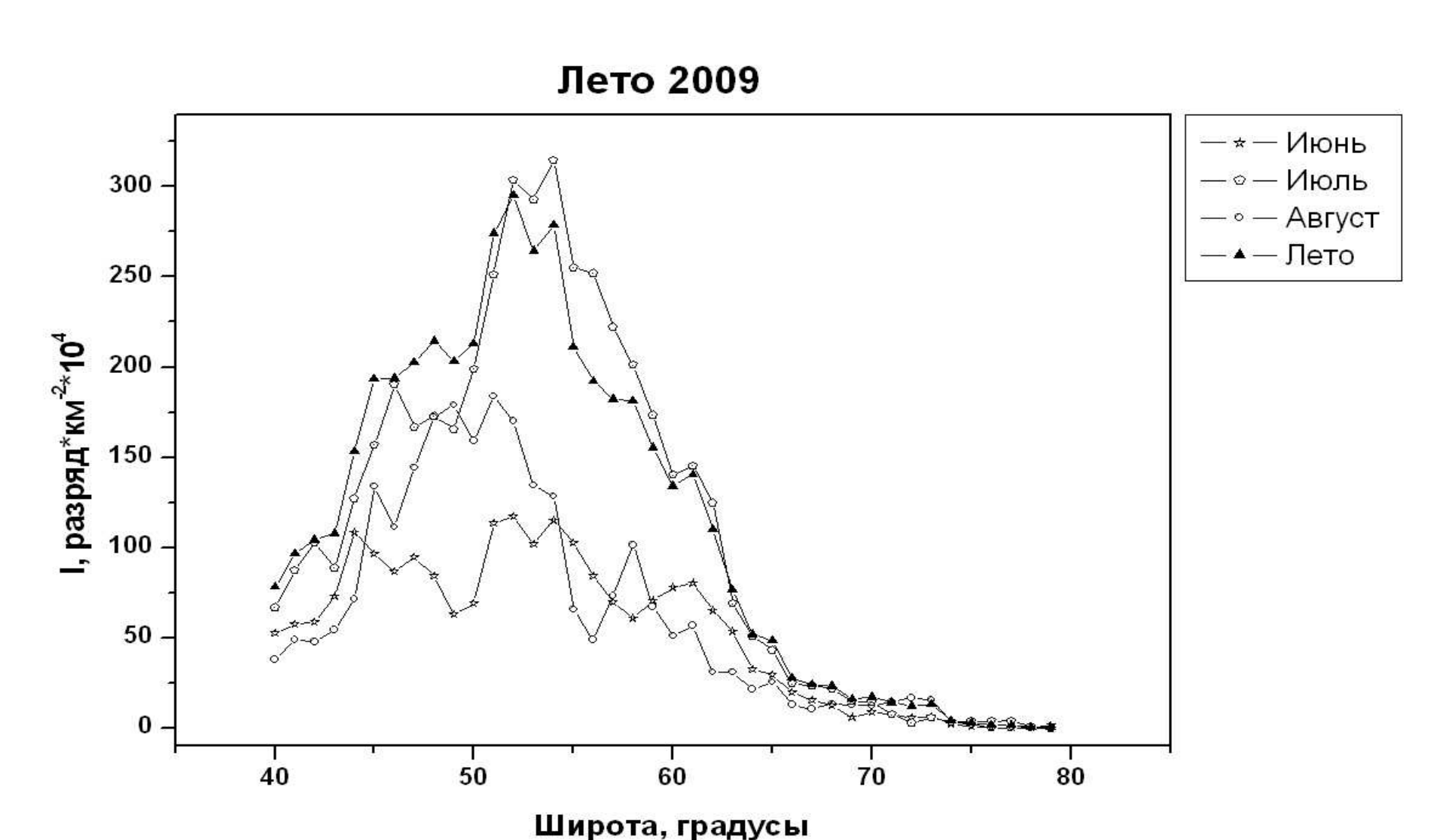


Низкая облачность – 2009 г.

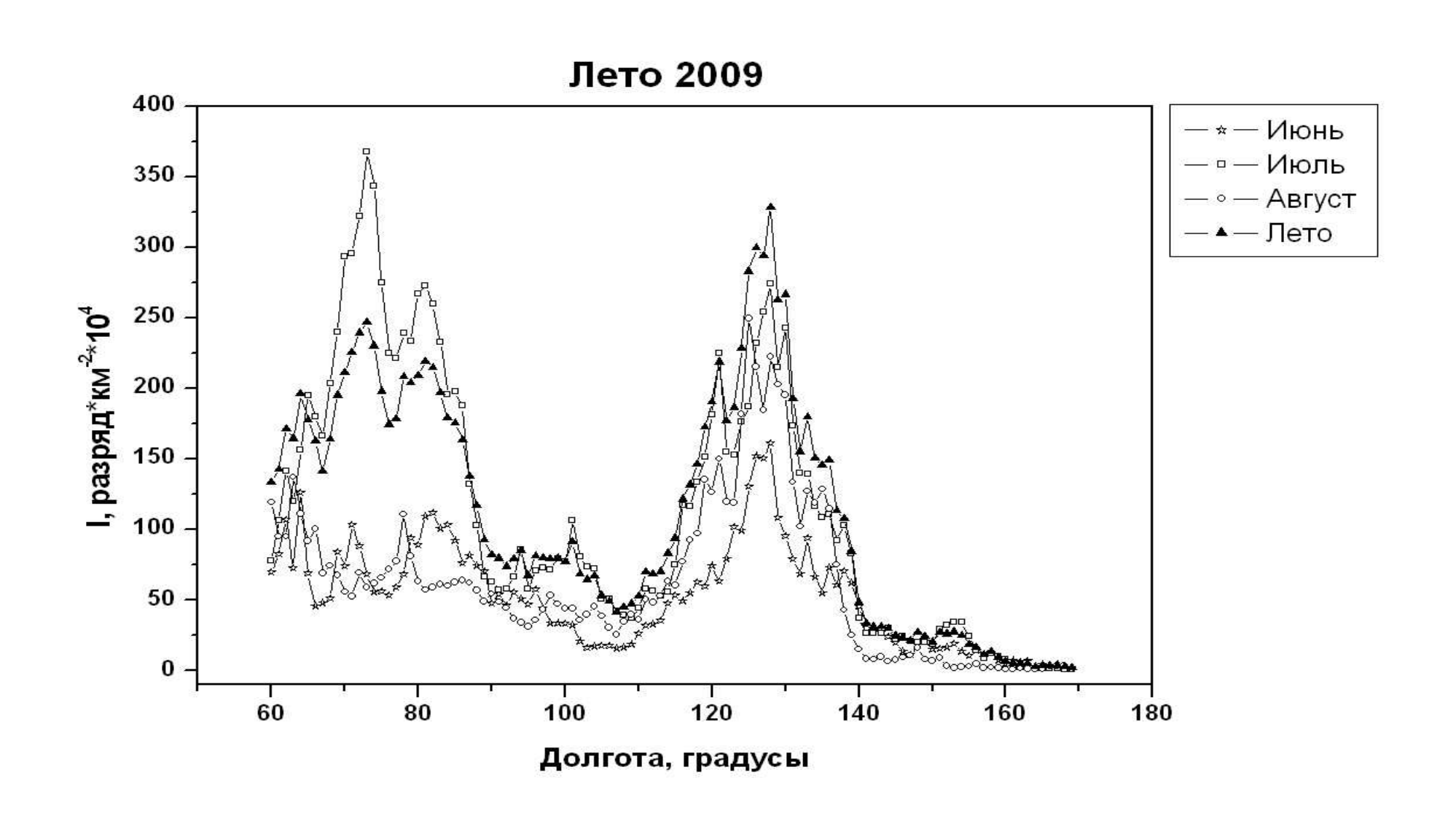


Полная облачность – лето 2009 г.

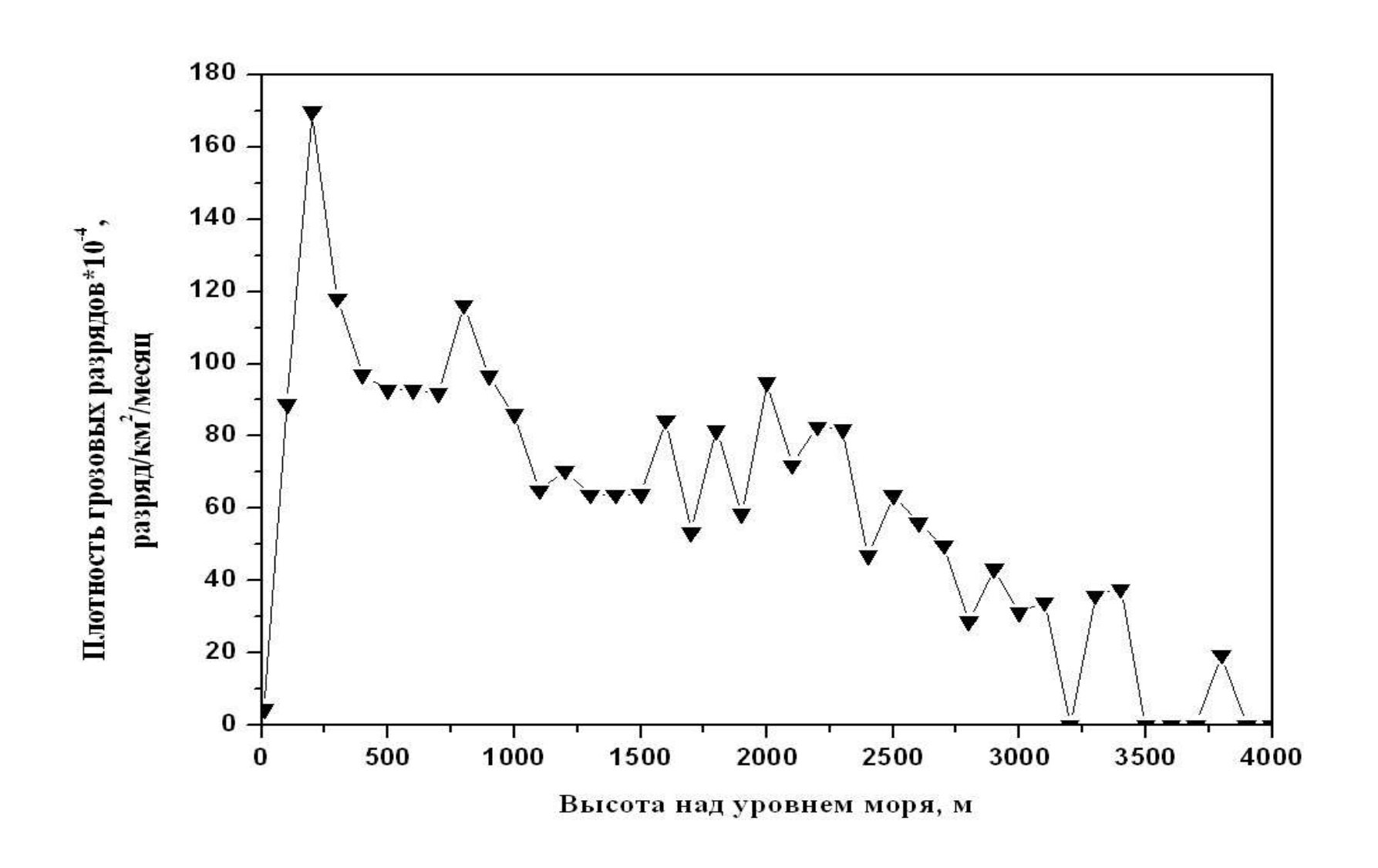
Широтный ход плотности грозовых разрядов за летний сезон 2009 г.



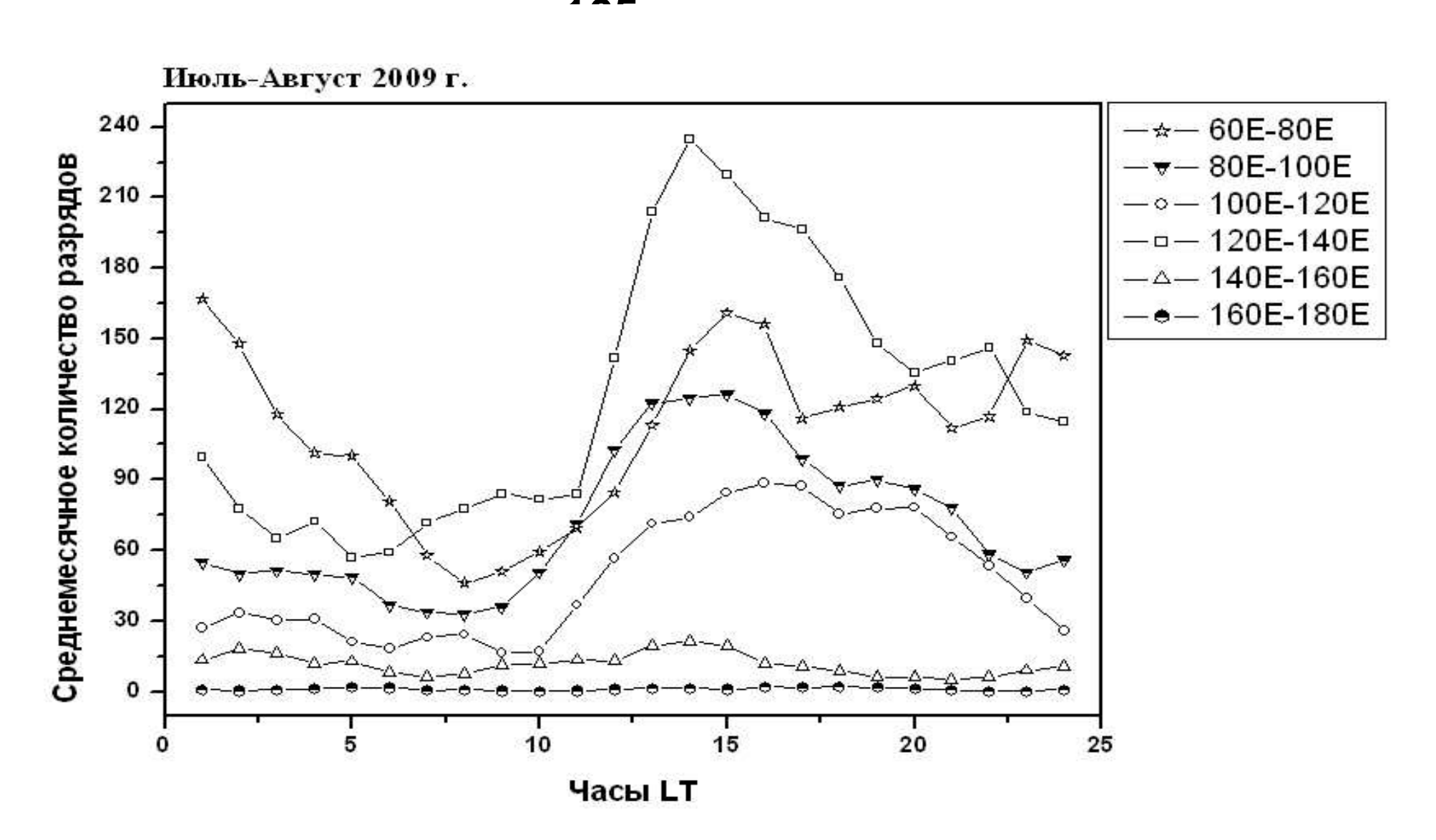
Долготный ход плотности грозовых разрядов за летний сезон 2009 г.



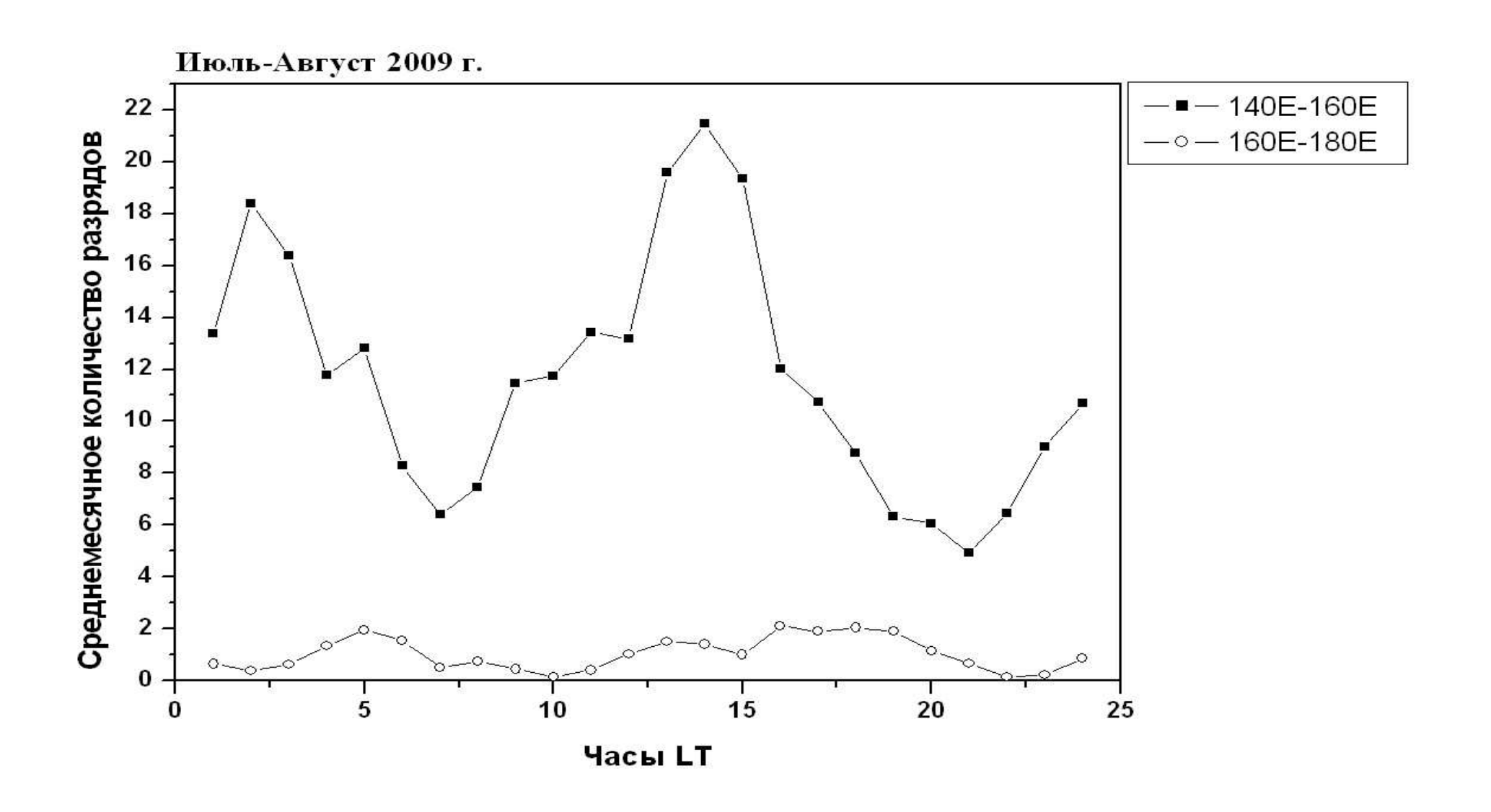
Плотностью разрядов в зависимости от высоты местности над уровнем моря.



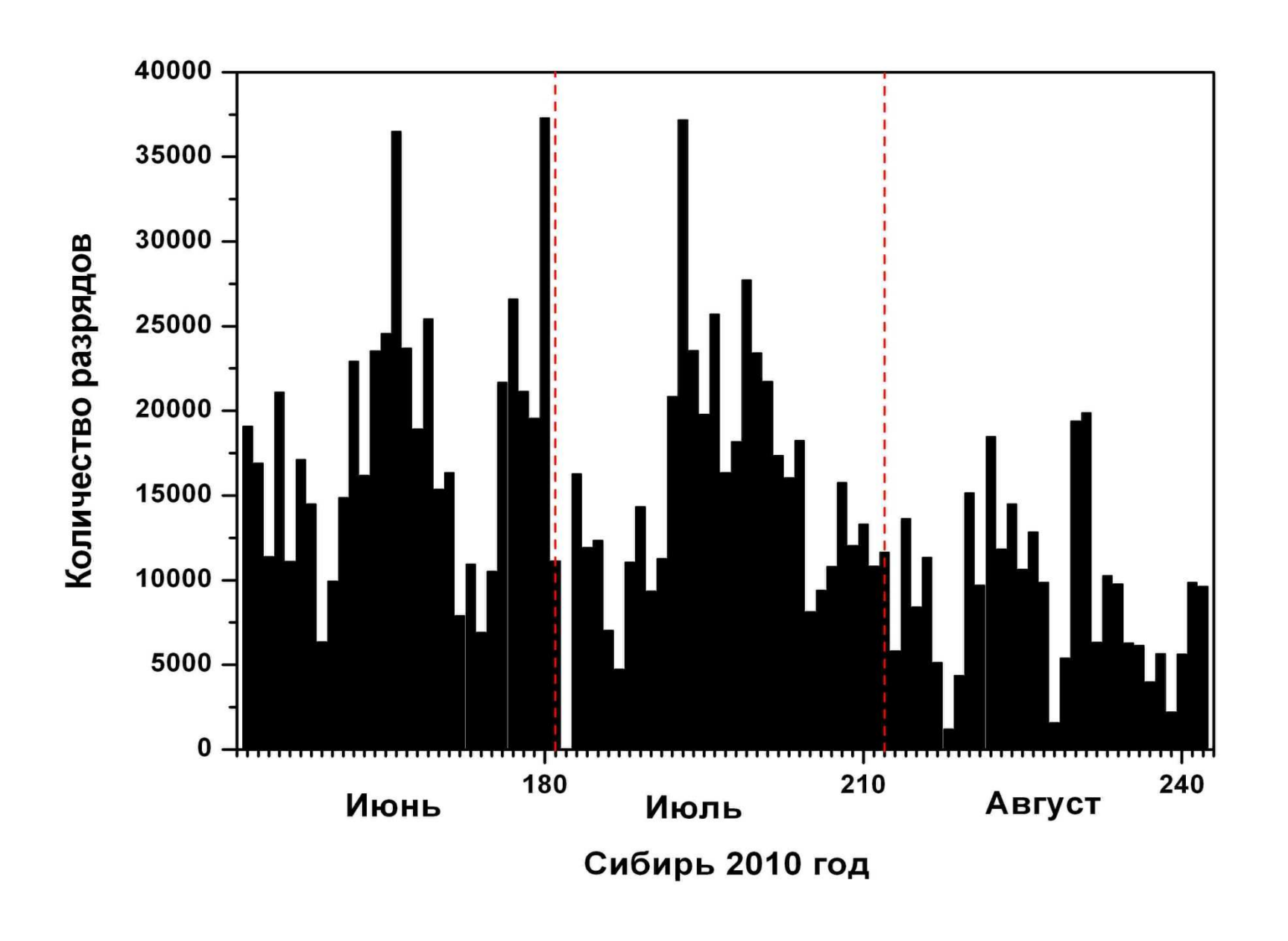
Суточный ход грозовых разрядов для различных долготных поясов от 60 град. в.д. до 180 град. в.д. с шириной пояса в 20 град. Время поясов взято для долгот 75; 90; 105; 135; 150 и



Суточный ход грозовых разрядов для различных долготных поясов: от 140 град. в.д. до 160 град. в.д. (время пояса -долгота 150 град.) и от 160 град. в.д. до 180 град. в.д. (время -долгота 165 град.).

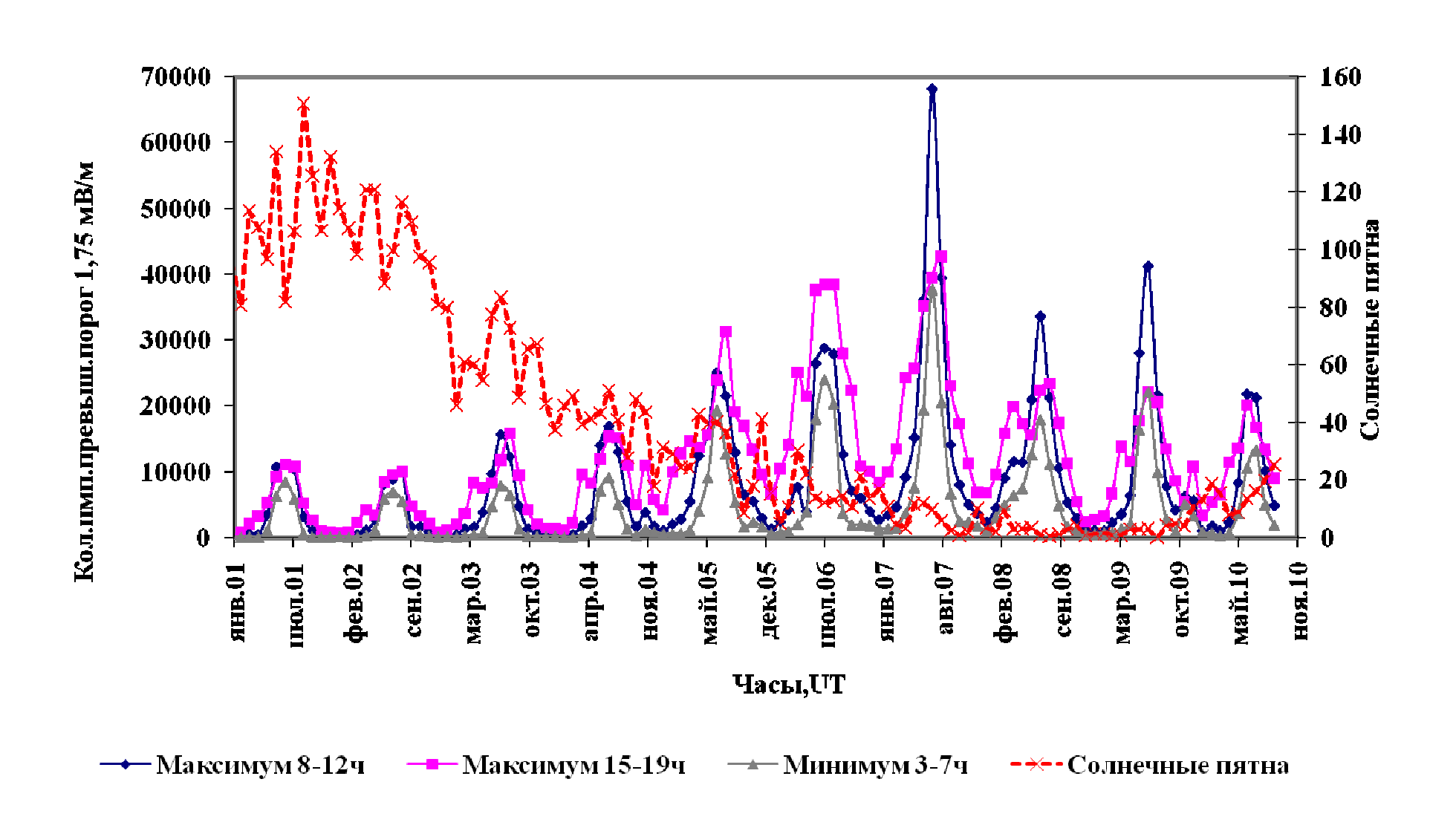


Сезонный ход активности гроз для Сибири

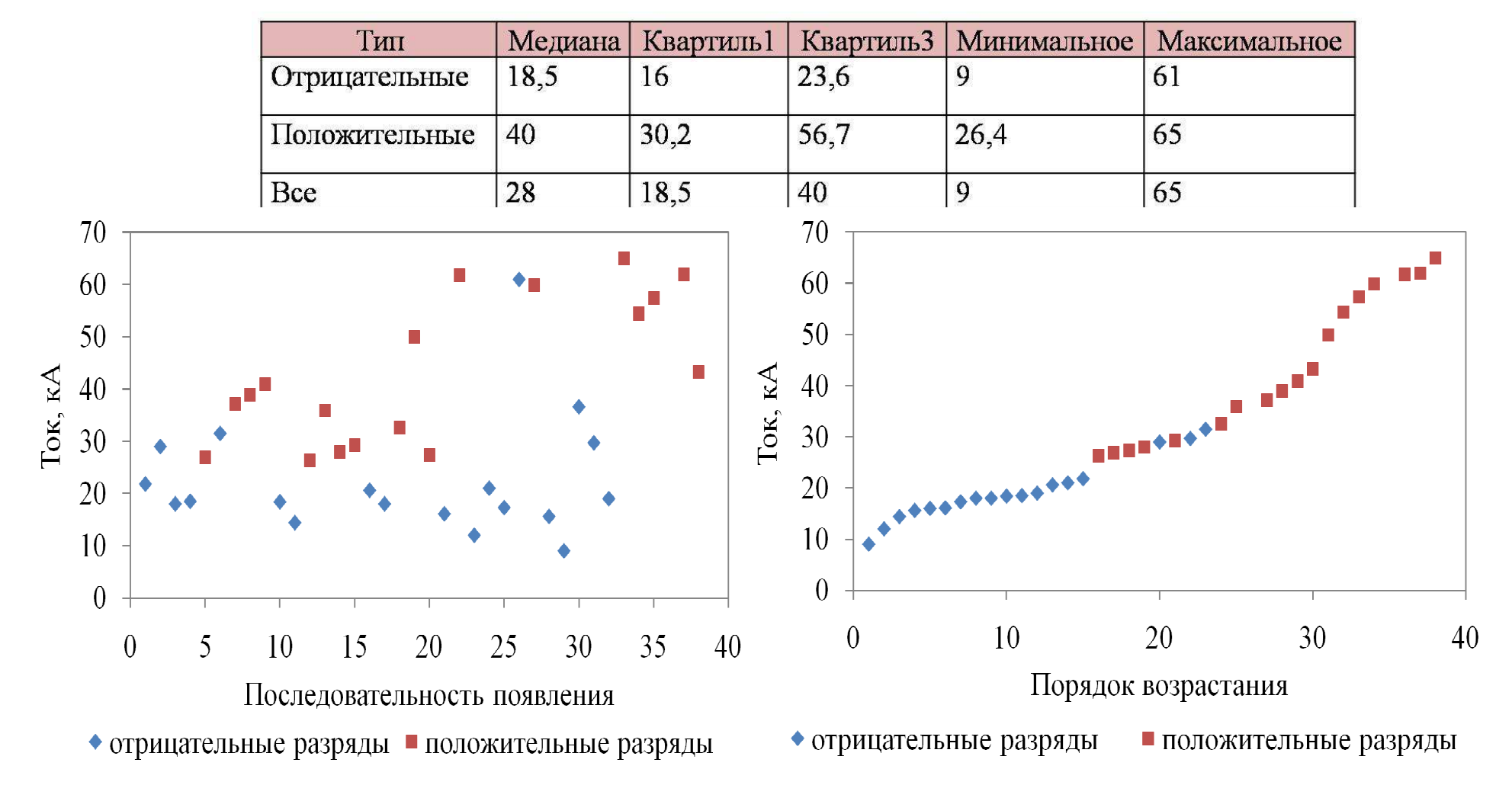


- Всего пассивным грозорадаром с радиусом обзора 480 км, установленном в Якутске, зарегистрировано за летний сезон 2009 г в центральной Якутии на площади 720 000 кв. км 66294 грозовых разрядов.
- Грозовая активность и динамика относительного числа отрицательных разрядов имела максимум интенсивности в июле и резкий спад к августу. Наземные разряды составили в среднем за сезон 65%. Из числа наземных разрядов в среднем за сезон 90% составляют отрицательные разряды, что соответствует наблюдавшимся на территории Якутии в другие годы.
- Резко выраженный максимум грозовой активности в июне приходится на вечернее время (18 ч. по местному времени), в конце июля (максимум гроз данного года для июля в Центральной Якутии пришелся на 27-30 июля) смещается на ночные часы. По территории центральной Якутии летом 2009 г. проходили пять циклонических волн. Наблюдается превышение числа межоблачных и внутриоблачных разрядов и повышенное число положительных наземных грозовых разрядов в начале и конце волны интенсивности.

Вариации количества радиоимпульсов грозовых разрядов с площади радиусом 10000 км



- •Оценены токи, текущие по каналу наземной молнии [V.A Rakov., R. Thottappillil, M.A. Uman, J. Geophys. Res., 1992. Т. 97. Р. 11,527-11,533]. Медианное значение токов 28 кА с квартилями 14 и 40 кА. Большие амплитуды тока (в 2 раза) соответствуют положительным разрядам «облако-земля».
- Напряженность принимаемого сигнала от 1 В/м до 6 В/м с медианой 2 В/м
- Медианная величина тока оказалась равной 28 кА
- Квартили имеют значения 18кА и 40 кА

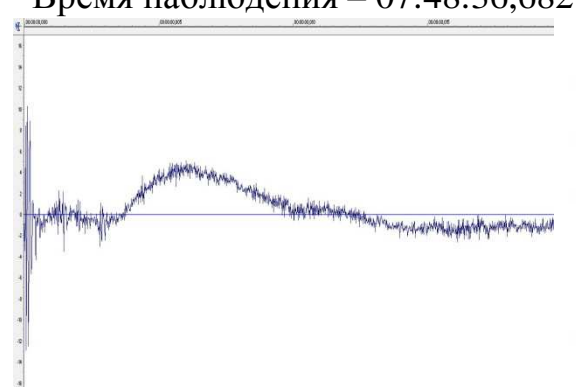


- Длительность принимаемого радиосигнала, состоящего из ОНЧ и СНЧ радиоимпульсов, изменялась в интервале от 6 до 56 мс, с модальным значением в 14 мс. СНЧ компонента была представлена частотами от 170 до 60 Гц с течением времени и наблюдалась в 67% случаев после положительного наземного разряда. Запаздывание СНЧ сигнала от соответствующего ему атмосферика лежало в пределах 7 мс, с наиболее вероятными длительностями 1 и 2 мс (36% и 37% соответственно).
- В15% наблюдается возникновение двух наложенных СНЧ компонент, ассоциированных с одним положительным атмосфериком. Время запаздывания второго пика амплитуды (сигнал от спрайта) находится в пределах от 2 до 11 мс, и зарегистрирован один случай с запаздыванием 40 мс.

СНЧ-радиосигналы, имеющие сбои по фазе

Измерения от 22 июля 1996

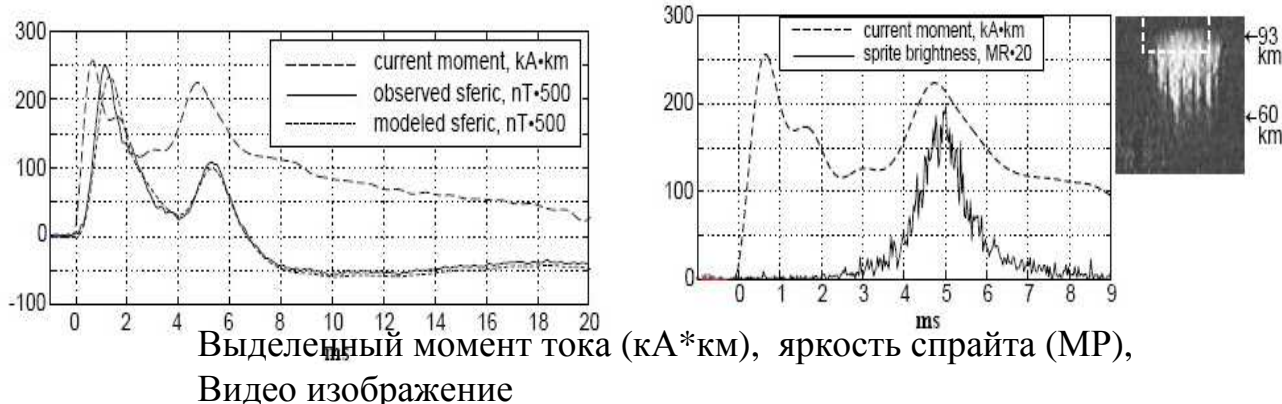
Время наблюдения – 07:48:36,682

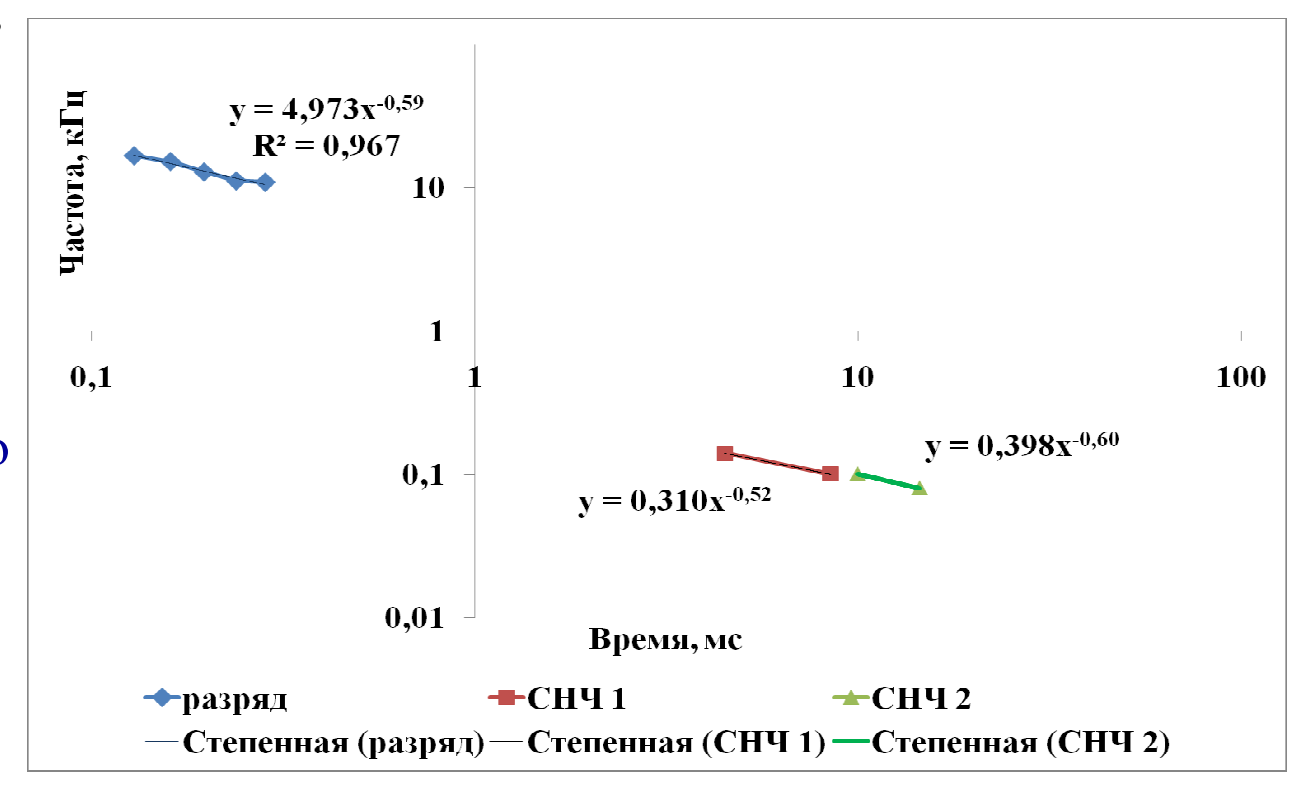


Наблюдаемый СНЧ-сферик (нТ), Смоделированный СНЧ-сферик (нТ), Выделенный момент тока (кА*км)

Зарегистрировано 37 случаев из 251 – 14,7% Время запаздывания лежало в пределах от 2 до 11 мс, также зафиксирован 1 случай – 40 мс.

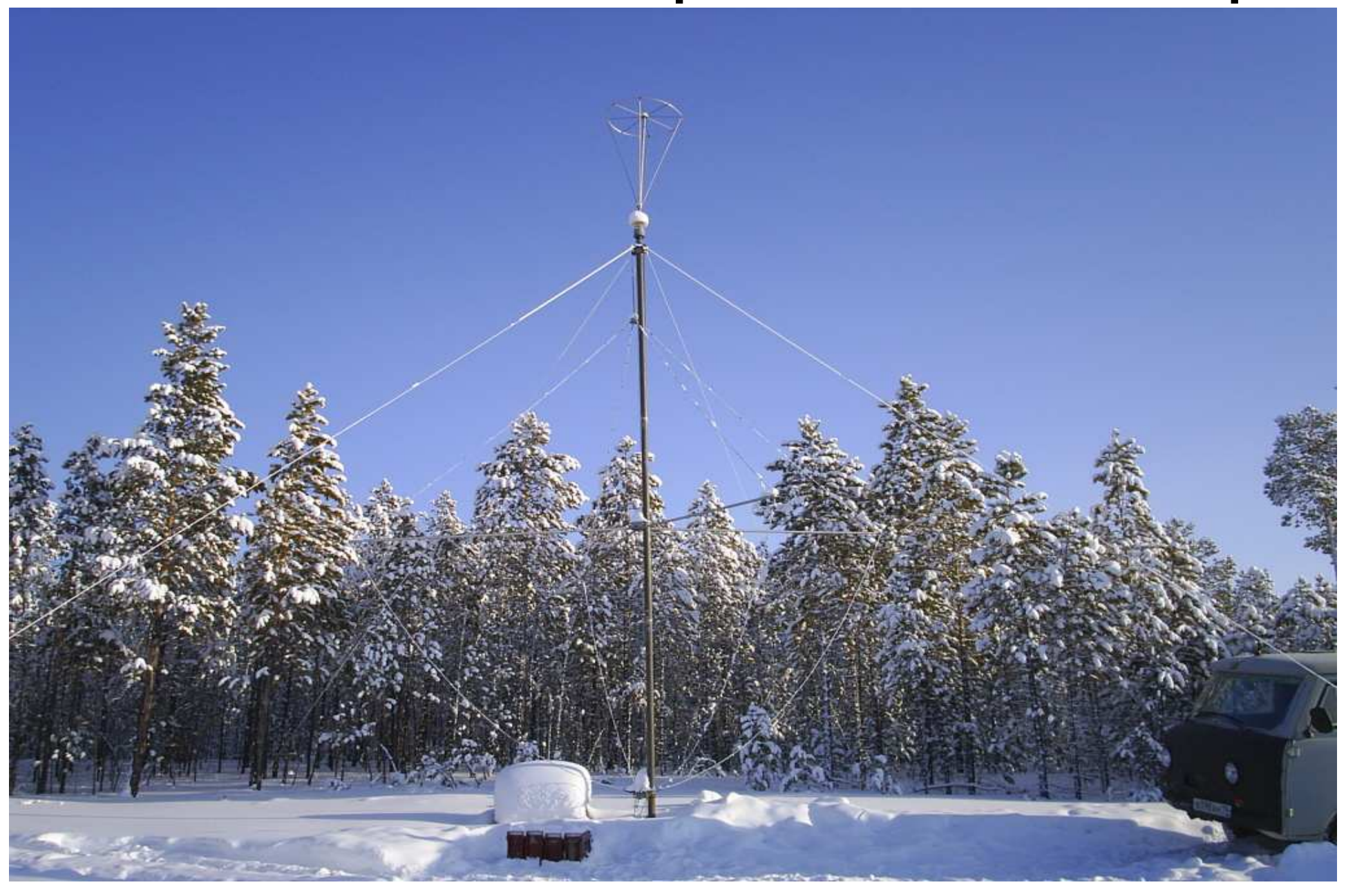
S. A. Cummer, U. S. Inan, T. F. Bell, and C. P. Barrington-Leigh







Антенна грозопеленгатора



Гроза над Якутской установкой широких атмосферных ливней частиц сверхвысоких энергий



Радиосигнал, визуализированный с помощью программы SoundForge 6.0

Нижняя облачность

